

## Návody a řešení.

**1)** (a)  $y' \geq 1$ .

(b) Lze si povšimnout  $(x^2 - y^2)' = 0$ , a proto ihned vyloučíme body  $(x, y)$  nevyhovující rovnici  $x^2 = y^2$  (viz Obrázek 1). Neregulovatelnost (1-dimenzionální) rovnice  $x' = x^3 u$  se ukáže integrací a užitím esenciální omezenosti  $u$ .

(c) Po přechodu do polárních souřadnic, k němuž nabádají radiální členy, získáme

$$\begin{aligned} r' &= \sqrt{r}(1 - \sqrt{r}) \cos \omega \\ \omega' &= ru \sin \omega. \end{aligned}$$

Pronikne-li tedy řešení na jednotkovou kružnici, již ji neopustí.

Jestliže se nechceme uchylovat k polárním souřadnicím, je možné první rovnici vynásobit  $x$ , druhou vynásobit  $y$ , obě rovnice sečít a všimnout si, že na jednotkové kružnici platí  $(x^2 + y^2)' = 0$ .

(d) Ocitne-li se řešení na dělicí parabole, může z ní pokračovat pouze v kladném směru osy  $y$ .

**2)** (a) Po zakreslení zadaného vektorového pole (viz Obrázek 2) po chvíli vyloučíme vše kromě množiny  $\{(0, s); s \in (0, 1)\}$ , na níž si vystačíme s volbou  $u \equiv 1$ .

(b) Po grafickém ztvárnění (podstatné je správné nakreslení křivek  $xy = \frac{\pi}{2} + k\pi$ , viz Obrázek 3) vyvodíme jako oblast regulovatelnosti množinu  $\{(x, y) \in \mathbb{R}^2; x < 0\}$ .

Příklad regulačního postupu je prvně položit  $u \equiv -2 \operatorname{sgn} y_0 + y_0/x_0$ . Takto se nám podaří setkat se s trajektorií regulovaného řešení, které existuje v množině  $\{(x, y) \in \mathbb{R}^2; |xy| \leq \pi/4 \wedge x < 0\}$  a při zpětném probíhání má v nekonečném čase limitu  $(0, -\infty)$ .

**3)** Na množině  $\{(x, y) \in \mathbb{R}^2; y = 0\}$  pozorujeme  $y' < 0$  (viz Obrázek 4) a na jistém okolí počátku  $y' \leq c < 0$ . Odsud plyne neregulovatelnost  $\{(x, y) \in \mathbb{R}^2; y \leq 0\}$ . Množina  $\{(0, y); y > 0\}$  naopak regulovatelná je bez ohledu na volbu  $u$ . Na ostatních zatím nezmíněných oblastech platí kvůli klesavosti  $y$  poblíž osy  $x$  odhad  $|x'| \leq |x| \cdot y_0 \cdot \|u\|_\infty$ . Odpovídající řešení jsou proto v  $x$ -souřadnici odražená od nuly funkcií  $x_0 \exp(-t \cdot y_0 \cdot \|u\|_\infty)$ .

Upustíme-li od požadavku  $\|u\|_\infty < \infty$ , stále nejsme schopni vylepšit situaci množiny  $\{(x, y) \in \mathbb{R}^2; y \leq 0\}$  ze stejných důvodů jako v předchozím případě. Totéž však neplatí pro  $\{(x, y) \in \mathbb{R}^2; x \neq 0, y > 0\}$ . Volbou  $u$  jako po částech konstantních „schodů do nebe“ jsme schopni udržet  $|x'| \geq c > 0$ , kde  $c$  je konstanta dost velká na to, aby se řešení blížilo k ose  $y$  rychleji než k ose  $x$  (např.  $c = 3\pi|x_0|y_0^{-1}/2$ ). Kvůli limity monotónní posloupnosti musí

takové řešení nutně skončit na ose  $y$  v čase seshora omezeném konstantou  $c$ . Zeslabením předpokladů jsme tak rozšířili oblast regulovatelnosti na  $\{(x, y) \in \mathbb{R}^2; y > 0\}$ .

**4)** Ideu rozvedeme ve třech krocích, jejichž poskládáním regulujeme řešení o libovolné počáteční podmínce. Pro lepší představu viz obrázky 5 a 6.

$$1. (x_0, y_0) = (0, 2k\pi), k \in \mathbb{N}.$$

Položme  $u \equiv -1$ . Protože nyní

$$\left( \frac{(x-1)^2}{2} + \cos y \right)' = 0,$$

řešení o uvedené počáteční podmínce splňuje  $x = 1 - \sqrt{3 - 2 \cos y}$ , což je  $2\pi$ -periodická funkce v proměnné  $y$ , striktně záporná na  $(2(k-1)\pi, 2k\pi)$ . Odtud a z rovnice pro  $y'$  dostáváme, že příslušné řešení dorazí do bodu  $(0, 2(k-1)\pi)$ , a to nejpozději v čase  $t = 2\pi$ . Povšimněme si navíc

$$C := \max_{y \in [2(k-1)\pi, 2k\pi]} |x(y)| = \sqrt{5} - 1.$$

Analogický postup s  $u \equiv 1$  zajistí přechod  $(0, -2k\pi) \rightarrow (0, -2(k-1)\pi)$ .

$$2. (x_0, y_0) \in \{(x, y) \in \mathbb{R}^2; y \in [2k\pi + 5\pi/4, 2k\pi + 7\pi/4], k \in \mathbb{Z} \wedge (x, y) \text{ leží napravo od trajektorie z předchozího bodu mezi } (0, 2(k+1)\pi) \text{ a } (0, 2k\pi)\}.$$

Interval  $[2k\pi + 5\pi/4, 2k\pi + 7\pi/4]$  značí pás, v němž  $x' \leq -1/\sqrt{2}$ . Vhodným přepínáním  $u$  v tomto intervalu s  $y$ -souřadnicí zůstaneme. Dosáhneme tak driftování v  $x$ -souřadnici až do styku s trajektorií z předchozího bodu, kdy zapojíme jemu příslušející hodnotu  $u$ . Délka doby trvání této fáze neprekročí hodnotu  $\sqrt{2}(|x_0| + C)$ .

Zcela analogicky by postup fungoval pro  $(x_0, y_0)$  takové, že  $y_0 \in [2k\pi + \pi/4, 2k\pi + 3\pi/4]$ ,  $k \in \mathbb{Z}$ , a navíc  $(x_0, y_0)$  leží nalevo od trajektorie z předchozího bodu mezi  $(0, 2(k+1)\pi)$  a  $(0, 2k\pi)$ .

$$3. (x_0, y_0) \text{ všude jinde.}$$

Dosazením vhodné konstanty za  $u$  dorazíme do „potrubí“ z předchozího případu nebo překřížíme trajektorii z prvního případu. Kupříkladu volou  $u \equiv -x_0 + 2\pi$  se tak stane za čas  $t < 3$ .

**5)** Kalmanova matice má rank 2 a její sloupce generují nadrovinu  $y+z=0$ .

**6)** (i)  $a^2 + b^2 \neq 0$ , (ii)  $ab \neq 0$ , (iii)  $|a| \neq |b|$ .

**7)** Převed'te na systém  $n$  rovnic; Kalmanova matice má na vedlejší diagonále jednotky a nad ní je nulová.

- 8)** (a)  $\mathcal{K}(A, B)$  je dolní trojúhelníková matice s jedničkami na diagonále.  
 (b)

$$\mathcal{K}(A, B) = \begin{pmatrix} 1 & 2 & \dots & 2^{n-1} \\ 1 & 2 & \dots & 2^{n-1} \\ \dots & \dots & \dots & \dots \\ 1 & 2 & \dots & 2^{n-1} \end{pmatrix}$$

Sloupce Kalmanovy matice generují  $\text{lin}\{(1, 1, \dots, 1)\}$ .

- 9)** (a)

$$\mathcal{K}(A, B) = \begin{pmatrix} \alpha & \beta & 0 & \dots & 0 & 0 \\ 0 & \alpha & \beta & \dots & 0 & 0 \\ 0 & 0 & \alpha & \dots & 0 & 0 \\ \dots & \dots & \dots & \dots & \dots & \dots \\ 0 & 0 & 0 & \dots & \alpha & \beta \\ \beta & 0 & 0 & \dots & 0 & \alpha \end{pmatrix}_{n \times n}$$

Je-li  $n$  liché, pak:  $\alpha \neq -\beta \Rightarrow h(\mathcal{K}(A, B)) = n$ .

$\alpha = -\beta \neq 0 \Rightarrow h(\mathcal{K}(A, B)) = n - 1$ , sloupce  $\mathcal{K}(A, B)$  generují nadrovinu  $(1, \dots, 1)^\perp$ .

Je-li  $n$  sudé, pak:  $\alpha \neq \pm\beta \Rightarrow h(\mathcal{K}(A, B)) = n$ .

$\alpha = -\beta \neq 0 \Rightarrow h(\mathcal{K}(A, B)) = n - 1$ , sloupce  $\mathcal{K}(A, B)$  generují nadrovinu  $(1, \dots, 1)^\perp$ .

$\alpha = \beta \neq 0 \Rightarrow h(\mathcal{K}(A, B)) = n - 1$ , sloupce  $\mathcal{K}(A, B)$  generují nadrovinu  $(1, -1, \dots, 1, -1)^\perp$ .

- (b)

$$\mathcal{K}(A, B) = \begin{pmatrix} \alpha & \beta & \beta & \dots & \beta \\ \beta & \alpha & \beta & \dots & \beta \\ \beta & \beta & \alpha & \dots & \beta \\ \dots & \dots & \dots & \dots & \dots \\ \beta & \beta & \beta & \dots & \alpha \end{pmatrix}_{n \times n}$$

$\alpha = \beta \neq 0 \Rightarrow$  sloupce  $\mathcal{K}(A, B)$  generují  $\text{lin}\{(\alpha, \alpha, \dots, \alpha)\}$ .

$\alpha = -(n-1)\beta \neq 0 \Rightarrow h(\mathcal{K}(A, B)) = n - 1$ , sloupce generují nadrovinu  $(1, \dots, 1)^\perp$ .

**10)**

$$\mathcal{K}(A, B) = \begin{pmatrix} 2 & -1 & 0 & 0 & \dots & 0 & 0 \\ -1 & 2 & -1 & 0 & \dots & 0 & 0 \\ 0 & -1 & 2 & -1 & \dots & 0 & 0 \\ 0 & 0 & -1 & 2 & \dots & 0 & 0 \\ \dots & \dots & \dots & \dots & \dots & \dots & \dots \\ 0 & 0 & 0 & 0 & \dots & 2 & -1 \\ 0 & 0 & 0 & 0 & \dots & -1 & 2 \end{pmatrix}_{n \times n}$$

Kalmanova matice je regulární, o čemž se můžeme přesvědčit například výpočtem jejího determinantu. Po sestavení rekurentního vztahu a ověření náštřelu vyvozeného z  $n = 1, 2, 3$  vyjde  $\det(\mathcal{K}(A, B)) = n + 1$ .

**11)**

$$\mathcal{K}(A, B) = \begin{pmatrix} 1 & 0 & 0 & 0 & \dots & 0 & (n-1)! \\ 0 & 0 & 0 & 0 & \dots & (n-1)! & n! \\ \dots & \dots & \dots & \dots & \dots & \dots & \dots \\ 0 & 0 & 0 & (n-3)(n-2)(n-1) & \dots & 0 & 0 \\ 0 & 0 & (n-2)(n-1) & (n-2)(n-1)n & \dots & 0 & 0 \\ 0 & n-1 & (n-1)n & 0 & \dots & 0 & 0 \\ 1 & n & 0 & 0 & \dots & 0 & 0 \end{pmatrix}$$

Kalmanova matice je regulární (opět lze snadno spočítat  $\det(\mathcal{K}(A, B))$ ).

**13)** Jediná modifikace spočívá v předpokladu  $f(\tilde{x}, 0) = 0$  a v užívání  $\nabla_x f(\tilde{x}, 0), \nabla_u f(\tilde{x}, 0)$ , kde  $x' = f(x, u)$  – zobecnění  $f(0, 0) = 0, \nabla_x f(0, 0), \nabla_u f(0, 0)$ . V dalším značme  $A = \nabla_x f(\tilde{x}, 0), B = \nabla_u f(\tilde{x}, 0)$ .

(a)

$$\mathcal{K}(A, B) = \begin{pmatrix} 0 & \alpha\beta\pi & 0 \\ \beta & 0 & -\alpha\beta\pi \\ 0 & 0 & \alpha\beta\pi \end{pmatrix} \quad \mathcal{K}(A, B) = \begin{pmatrix} 0 & \cos x \\ 1 & \sin(2x) \end{pmatrix}$$

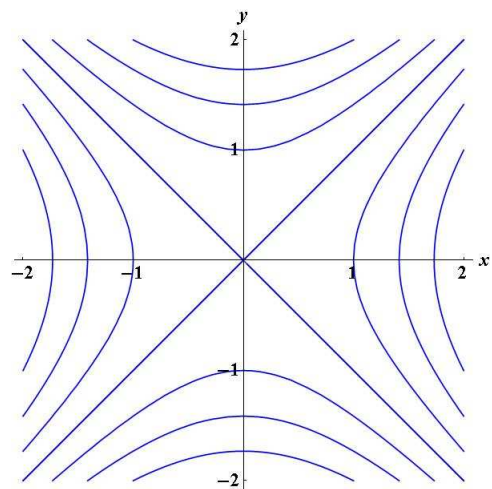
$$\alpha \neq 0, \beta \neq 0, \gamma = -1.$$

$$\alpha = \beta = -1.$$

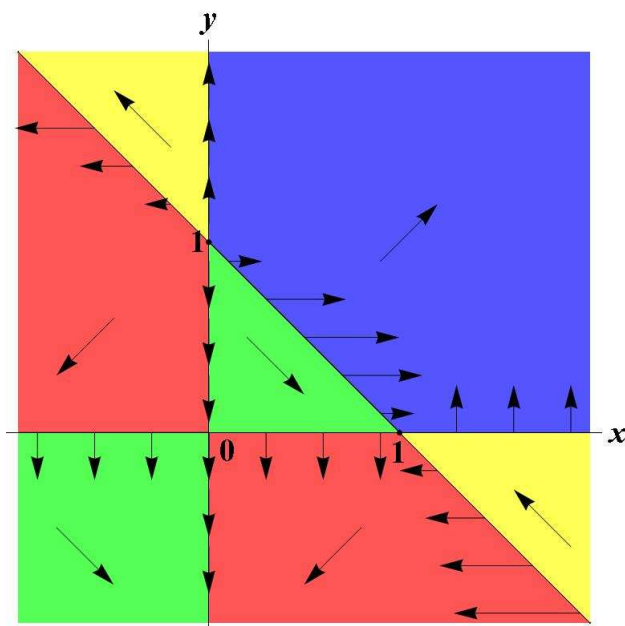
(b)

$$\mathcal{K}(A, B) = \begin{pmatrix} \alpha & -\beta^2 \\ \beta & \alpha^2 \end{pmatrix} \quad \mathcal{K}(A, B) = \begin{pmatrix} x & -6 \\ y & 8e^4 \end{pmatrix}$$

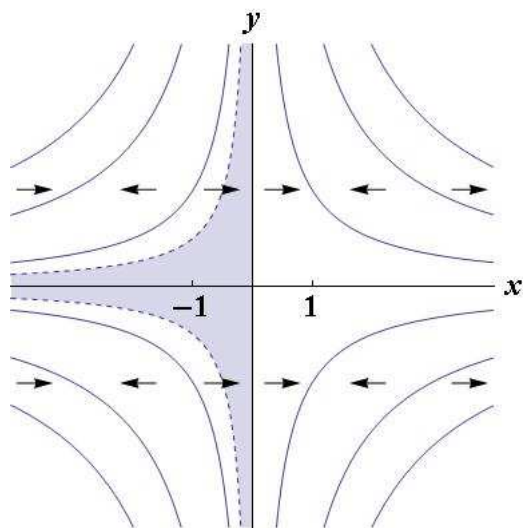
$$\alpha = \beta = 3.$$



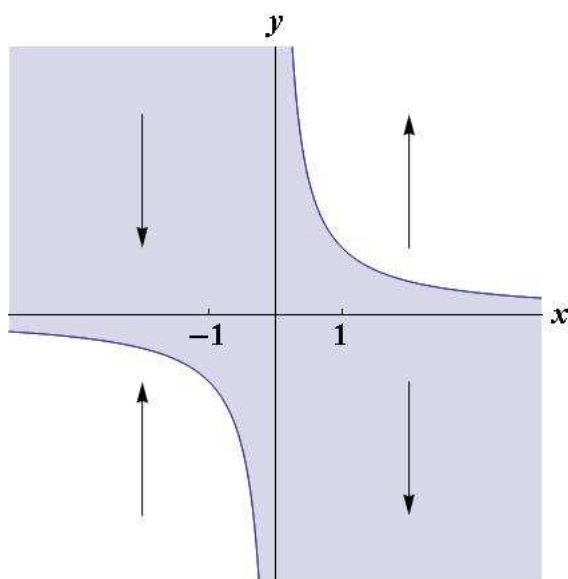
Obrázek 1: Úloha 1b – úrovňové množiny funkce  $x^2 - y^2$  pro hodnoty  $-3, -2, \dots, 3$ .



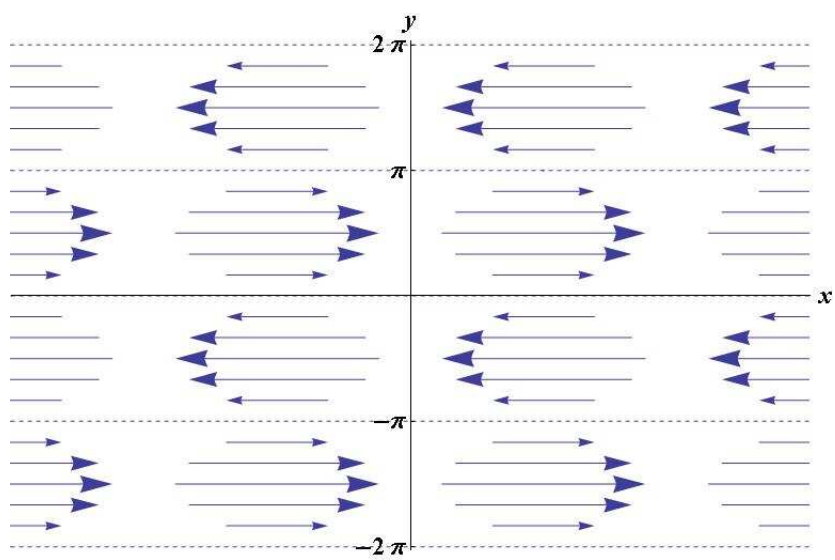
Obrázek 2: Fázový portrét cvičení 2a, v němž stejné barvy značí stejnou kombinaci znamének  $x'$  a  $y'$ .



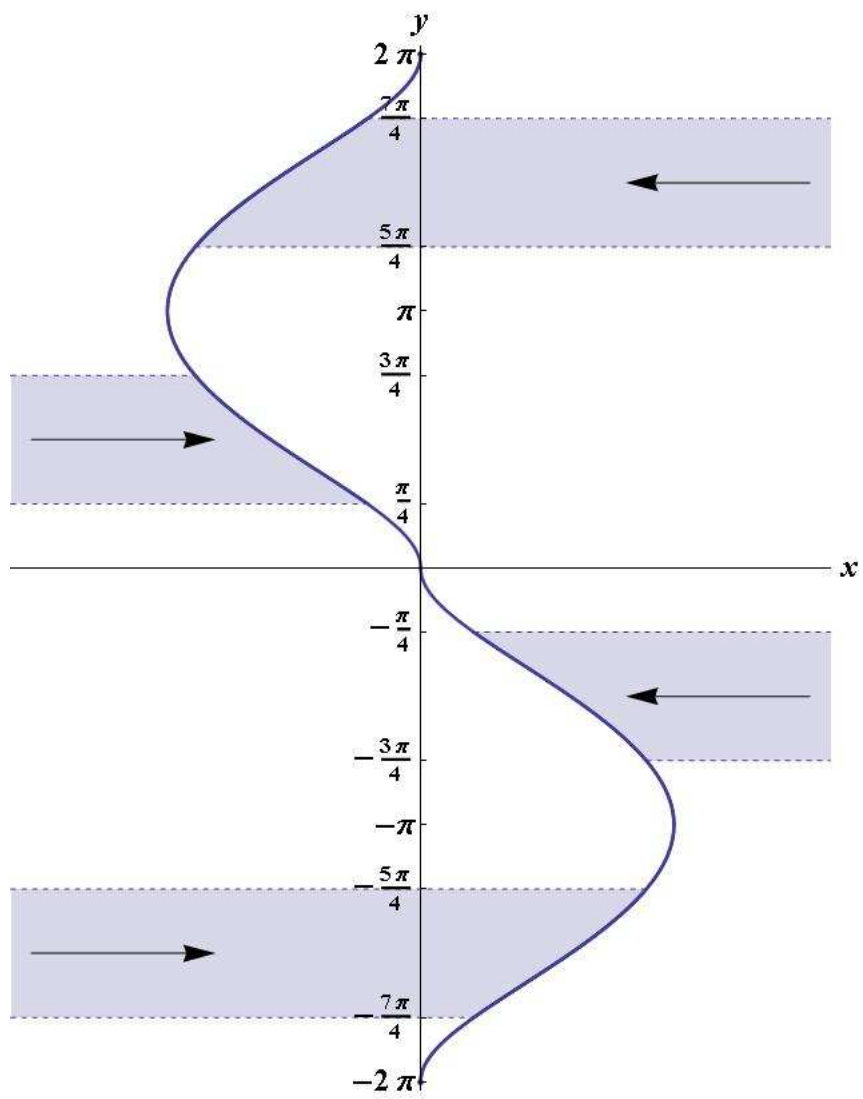
Obrázek 3: Úloha 2b – úrovňové množiny funkce  $xy$  pro hodnoty  $-5\pi/2, -3\pi/2 \dots 5\pi/2$  se znázorněným směrem  $x'$ . Zvýrazněna je množina  $\{(x, y) \in \mathbb{R}^2; |xy| \leq \pi/4 \wedge x < 0\}$ .



Obrázek 4: Pomoc ke cvičení 3, kde zvýraznění značí  $y' < 0$ .



Obrázek 5: Ztvárnění  $x'$  ze cvičení 4.



Obrázek 6: Trajektorie regulovaných řešení začínajících v bodech  $(0, -2\pi)$  a  $(0, 2\pi)$  ze cvičení 4. Zvýrazněné oblasti značí počáteční podmínky spadající do kroku II.